Auto-Similaridade do Tráfego de Telecomunicações EELT7055 Modelagem e Avaliação de Desempenho

Prof. Carlos Marcelo Pedroso

Pós Graduação em Engenharia Elétrica - PPGEE

2025

Estrutura da Apresentação

- Preâmbulo
- 4 Auto-Similaridade e Long Range Dependence (LRD)
 - ✓ Estacionariedade
 - ✓ LRD e SRD (Short Range Dependence)
 - ✓ Auto-similaridade e a geometria fractal
- 3 Identificação de um Processo Auto-Similar
 - ✓ Estatística R/S
 - Método da Variância
 - Método da Transformada de Wavelet
- Modelos de Tráfego Auto-Similares
 - Modelo ON-OFF
 - ✓ Modelo FARIMA
 - ✓ Movimento Browniano Fracionário (fBm)
 - ✓ Modelo SURGE

Modelos de Tráfego de Redes

- Os modelos evoluíram para caracterizar apropriadamente o tráfego observado em redes atuais.
- Sistemas modernos (ex: TCP, compactação de vídeo) apresentam desafios de modelagem.
- Modelos tradicionais eram, em sua maioria, Markovianos.
- Ver artigo com uma breve história em https://www.cse.wustl.edu/jain/cse567-06/ftp/traffic_models3.pdf

Aplicações dos Modelos de Tráfego

- Projeto de capacidade de enlaces.
- Dimensionamento de buffers.
- ➤ Base para projeto de algoritmos de gerência e controle de congestionamento.
- base para projeto de algoritmos de controle congestionamento.
- base para o projeto de métodos de policiamento de tráfego.
- implementação de simulações computacionais.

Estacionariedade

Definições Básicas

- Série temporal discreta: $X_1, X_2, \dots, X_t, \dots, X_N$ a intervalos equidistantes.
- \blacktriangleright Média: $E(X) = \mu$.
- ➤ Variância: $V[X] = \sigma^2$.
- ▶ Auto-Covariância (defasagem k): $\gamma_k = E[(X_t \mu)(X_{t-k} \mu)].$
- ➤ Auto-Correlação (defasagem k): $\rho_k = \gamma_k/\gamma_0$.

Tipos

- ▶ Estrita: $[X_{t_1}, \dots, X_{t_n}]$ e $[X_{t_1+k}, \dots, X_{t_n+k}]$ possuem a mesma distribuição conjunta.
- ▶ Fraca (ou de segunda ordem): A função de auto-covariância $\gamma(r,s) = E[(X_r \mu)(X_s \mu)]$ satisfaz a invariância $\gamma(\mathbf{r},\mathbf{s}) = \gamma(\mathbf{r} + \mathbf{k},\mathbf{s} + \mathbf{k}).$

Dependência de Curta e Longa Duração (SRD e LRD)

SRD (Short Range Dependence)

- Observação corrente não é correlacionada com observações muito antigas.
- A função de auto-correlação decai rapidamente para zero.

LRD (Long Range Dependence)

- Observações são significativamente correlacionadas com observações muito distantes no tempo.
- A função de auto-correlação ρ_k decai para zero **muito lentamente** em função do deslocamento k.

Dependência de Curta Duração

- ▶ Processo com memória de curta duração ou Short Range Dependence (SRD) indica o fenômeno onde a observação corrente não é correlacionada com observações muito antigas. Para um processo SRD, a função de auto-correlação decai rapidamente para zero.
- ➤ O valor $H = \frac{1}{2}$ é o limite entre a LRD e a SRD. Processos com $\frac{1}{2} < H < 1$ são LRD, enquanto processos com $0 < H < \frac{1}{2}$ são SRD. O efeito da LRD será maior quando H estiver próximo a 1.

Dependência de Longa Duração

- Ocorre quando observações de um evento são significantemente correlacionadas com observações muito distantes no tempo. Este fenômeno é de particular interesse na modelagem de tráfego, uma vez que as pesquisas comprovaram que o tráfego em redes modernas de comunicação frequentemente apresenta LRD.
- ightharpoonup Em um processo LRD a função de auto-correlação ho_k decai para zero muito lentamente em função do deslocamento k. Processos auto-similares apresentam LRD.

Auto-Similaridade

Assuma uma variável aleatória com E[X]=0. Pela estacionariedade, $\gamma(r,s)=\gamma(r-s,0)$ e a auto-covariância será dada por γ_k . Para formular a invariância de escala, primeiro define-se o processo agregado $X^{(m)}$ de X em um nível de agregação m.

$$X_k^{(m)} = \frac{1}{m} \sum_{t=m(k-1)+1}^{m k} X_t; \tag{1}$$

Isso significa que X_t é particionado em blocos não sobrepostos de tamanho m, seus valores são anotados e k é utilizado como índice nestes blocos. O valor de X_t representa a quantidade de informação observada.

Definição de Auto-Similaridade

Seja $\gamma^{(m)}(k)$ a função de auto-covariância de $X^{(m)}$. Assumindo que o processo é estacionário de segunda ordem, pode-se colocar a seguinte definição de auto-similaridade.

$$\gamma_k = \frac{\sigma^2}{2} \left[(k+1)^{2H} - 2k^{2H} + (k-1)^{2H} \right], \quad \forall k \ge 1$$
 (2)

implica em $\gamma_k = \gamma_k^{(m)}, \ \forall m \geq 1.$ A auto-similaridade estacionária tem sido o modelo dominante para a modelagem de tráfego em redes de comunicação modernas. A função de auto-correlação de um processo auto-similar apresenta um lento decaimento em função do deslocamento k e 1/2 < H < 1. Processos SRD apresentam $H \leq 1/2$.

Definição de Auto-Similaridade

➤ Um processo será auto-similar do ponto de vista estocástico se o processo mantém características estocásticas sobre uma certa faixa de escalas, de modo a satisfazer a relação dada pela equação abaixo. A interpretação desta equação é a seguinte: o processo estocástico X_t deslocado em escala por um fator constante m possui aproximadamente as mesmas características de X_t em termos de sua distribuição de probabilidade. A amplitude do processo X_{m t} resultante será o de X_t multiplicado por m^H, com H representando o parâmetro de Hurst.

$$X_{mt} \cong_{d} m^{H} X_{t}, m > 0 \tag{3}$$

Fractais e Dimensão

- O conceito de auto-similaridade foi aprimorado por Benoit B.
 Mandelbrot na teoria sobre fractais.
- Um objeto auto-similar (ex: Conjunto de Cantor, Floco de Neve Koch) mantém semelhanças sob ampliação em escala.



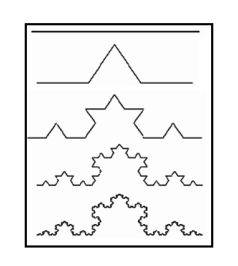
Dimensão Fractal (d**)**. Um objeto auto-similar é caracterizado pelo número N de cópias criadas com un alteração de escala ε :

$$d = \frac{\log N}{\log \varepsilon} \quad (4)$$

Relação com o Parâmetro de Hurst

$$d=2-H$$

Fractais e Dimensão: Exemplos







- Exemplo: Conjunto de Cantor $\Rightarrow N = 2, \varepsilon = 3 \Rightarrow d = \frac{\log 2}{\log 3} \approx 0.631.$
- Exemplo: Floco de Neve de Koch $\implies N = 4, \varepsilon = 3 \implies d = \frac{\log 4}{\log 3} \approx 1.262$
- ► Exemplo: Triângulo de Sierpinski $\implies N = 3, \varepsilon = 2 \implies d = \frac{\log 3}{\log 2} \approx 1.585$

Dimensão Fractal - Método Gráfico

- ▶ 1- Coloque um *grid* sobre o objeto com quadrados de dimensão ε_0 . Conte quantos quadrados contêm pontos da figura e chame o resultado de $N(\varepsilon_0)$;
- ▶ 2- Repita o passo 1 utilizando quadrados com dimensão $\varepsilon_1 = \varepsilon_0/2, \varepsilon_2 = \varepsilon_1/2, \ldots$ e anote o resultado em $N(\varepsilon_0), N(\varepsilon_1), \ldots$;
- > 3- A dimensão d é o número tal que $\lim_{\varepsilon \to 0} a.\varepsilon^{-d}$ (derivado da equação anterior), onde a é uma constante. Na prática, d pode se estimado como

$$d = \frac{\log N(\varepsilon_{i+1})/\log N(\varepsilon_{i+1})}{\log \varepsilon_i + 1/\log \varepsilon_{i+1}}$$
(4)

Dimensão Fractal

- A grande dificuldade do procedimento apresentado é selecionar o valor apropriado para *i*. Objetos reais não possuem um nível de granularidade infinitamente grande ou infinitamente pequeno. Além disso, a auto-similaridade pode manifestar-se apenas em determinadas escalas.
- ightharpoonup O parâmetro de Hurst está relacionado com a dimensão fractal através da relação d=2-H.;

Conjunto de Mandelbrot

- ➤ É o mais famoso dos fractais, descoberto por Benoît Mandelbrot.
- Não é um fractal definido por "auto-similaridade exata" (como o Floco de Neve de Koch), mas sim por um processo de iteração de funções complexas.
- É o mapa de todos os Conjuntos de Julia conexos.
- O Conjunto de Mandelbrot (M) é o conjunto de todos os números complexos c para os quais a sequência gerada por sua fórmula não diverge (não tende ao infinito).
- A iteração é definida pela seguinte função recursiva:

$$\mathbf{z}_{n+1} = \mathbf{z}_n^2 + \mathbf{c}$$

- \checkmark z: É uma variável complexa que começa sempre em $\mathbf{z_0} = \mathbf{0}$.
- ✓ c: É o número complexo que estamos testando (o ponto no plano complexo).

Visualização: Complexidade Infinita

Iteração (n)	Caso 1: $c = -1$		Caso 2: $c = 1$	
	Z _n	$ z_n $	Z _n	$ z_n $
0	0	0	0	0
1	$0^2 + (-1) = -1$	1	$0^2 + 1 = 1$	1
2	$(-1)^2 + (-1) = 0$	0	$1^2 + 1 = 2$	2
3	$0^2 + (-1) = -1$	1	$2^2 + 1 = 5$	5
4	$(-1)^2 + (-1) = 0$	0	$5^2 + 1 = 26$	26
5	$0^2 + (-1) = -1$	1	$26^2 + 1 = 677$	677

- **Resultado para** c = -1: O valor de $|z_n|$ **permanece limitado** (oscila entre 0 e 1). Portanto, c = -1 **pertence** ao Conjunto de Mandelbrot.
- **Resultado para** c=1: O valor de $|z_n|$ diverge rapidamente (passa de 2 e tende ao infinito). Portanto, c=1 não pertence ao Conjunto de Mandelbrot.

Visualização: Complexidade Infinita

- ➤ O conjunto é traçado no **plano complexo**, onde o eixo horizontal é a parte Real e o eixo vertical é a parte Imaginária de *c*.
- ➤ A fronteira é onde a transição entre convergência e divergência acontece. Esta fronteira tem dimensão fractal 2.
- As cores fora do conjunto representam a **velocidade de divergência** (quantas iterações foram necessárias para $|z_n| > 2$).

Ver: https://mandelbrot.site/

Identificação: Estatística R/S

- ➤ A auto-similaridade manifesta-se por uma **linha reta no gráfico log-log** da estatística *R/S*.
- ▶ O parâmetro de Hurst H é dado pela razão $\hat{R}(n)/\hat{S}(n)$ (estatística R/S).

Cálculo de $\hat{R}(n)$

$$\hat{R}(n) = \max_{1 \le k \le n} \left\{ \sum_{i=1}^{k} (X_i - \hat{\mu}) \right\} - \min_{1 \le k \le n} \left\{ \sum_{i=1}^{k} (X_i - \hat{\mu}) \right\}$$
 (6)

Relação Assintótica

$$E[R(n)/S(n)] \rightarrow an^H$$
 conforme $n \rightarrow \infty$

com 1/2 < H < 1 para processos LRD.

Identificação: Método da Variância

Verifica a auto-similaridade assintótica através do gráfico do estimador $\sigma^2(m)$ da variância do processo agregado.

Estimador da Variância do Processo Agregado

$$\sigma^{2}(m) = \frac{m}{N} \sum_{t=1}^{N/m} (X_{t}^{(m)} - \mu)^{2}$$
 (7)

Relação Assintótica

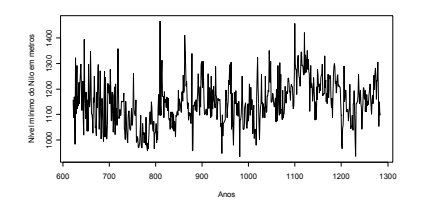
- ▶ Para grandes valores de m: $\sigma^2(m) \sim cm^{-2(1-H)}$ para uma constante c.
- ightharpoonup Em escala logarítmica $(\log(\sigma^2(m)) \times \log(m))$, a inclinação assintótica da reta formada será:

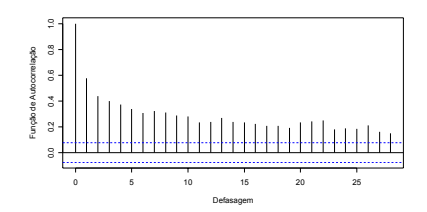
$$\alpha = -2(1 - H)$$

Método da Trasnformada de Wavelet

- ➤ Wavelets são funções matemáticas que seccionam os dados em diferentes componentes de frequência e então estudam cada componente com uma resolução ajustada à sua escala. Elas possuem vantagens sobre os métodos tradicionais de Fourier para a análise de situações onde o sinal contém descontinuidades e picos. Wavelets foram desenvolvidas independentemente nos campos da matemática, física quântica, engenharia elétrica e geologia sísmica.
- ➤ O procedimento básico de análise de uma série temporal consiste em um algoritmo recursivo que constrói a função, desloca-a e troca sua escala. A função original é decomposta em um conjunto de escalas e representada como parâmetros da função padrão, o que torna a análise menos sensível ao ruído porque mede as flutuações médias do sinal em diferentes escalas.

Série Temporal Clássica: Nível do Rio Nilo





- A série temporal Nile é um conjunto de dados clássico no R.
- Representa a vazão anual do Rio Nilo em Aswan, Egito, de 1871 a 1970.
- ➤ Visualmente, exibe fortes **tendências de longo prazo**, indicando possível **memória longa** (autosimilaridade).

Análise de Autosimilaridade

Objetivo

Vamos testar a hipótese de autosimilaridade usando o pacote **FACDIFF**, que estima o parâmetro de diferenciação fracionária (d).

- ➤ O Parâmetro de Hurst (H) mede a autosimilaridade.
- ➤ A relação é: H = d + 0.5.
- ightharpoonup Se m d>0 (H >0.5), a série tem **memória longa** (autosimilaridade).

Estimação do Parâmetro d (fracdiff)

Comandos R

- A função fracdiff() estima o valor fracionário do parâmetro d (diferenciação fracionária) usando o método de Máxima Verossimilhança no Domínio da Frequência.
- ightharpoonup Resultado da Estimativa $\widehat{\mathbf{d}} pprox \mathbf{0.3639}$

Cálculo do Parâmetro de Hurst

Cálculo de H

$$H = \hat{d} + 0.5$$

$$H \approx 0.3639 + 0.5$$

$$H \approx 0.8639$$

- ightharpoonup O valor de d estimado (0.3639) é significativamente **maior que zero**.
- ightharpoonup O valor do Parâmetro de Hurst, $m H \approx 0.8639$, está próximo de 1. item Conclusão: A série temporal do Rio Nilo apresenta forte autosimilaridade (memória longa), indicando que os valores passados têm uma influência significativa e duradoura nos valores futuros.

Verificação Complementar (tseries)

O teste ADF (tseries::adf.test) para Raiz Unitária pode complementar esta análise. Se o teste ADF não rejeitar (indicando não-estacionariedade), isso apoia a ideia de dependência de longo prazo.

Modelos de Tráfego: ON-OFF e Cauda Pesada

Modelo ON-OFF Tradicional

- Pacotes gerados apenas no estado ON (intervalos fixos).
- Sucessão ON/OFF modelada pela distribuição exponencial.
- Leva a séries com Dependência de Curta Duração (SRD).

Modelo ON-OFF com LRD

- Ocorre quando a distribuição do tempo ON ou do tempo OFF é modelada por uma distribuição de cauda pesada.
- ➤ A LRD é causada pela natureza dos objetos transmitidos (tamanho de arquivos, ritmo de chegadas, etc.).
- ▶ Relação com Hurst: $\mathbf{H} = (\mathbf{3} \alpha)/\mathbf{2}$ (Onde α é o parâmetro de forma).

Distribuição de Cauda Pesada

$$Pr\{X > x\} \sim x^{-\alpha}, \quad x \to \infty, \quad 0 < \alpha < 2 \quad (8)$$

A Distribuição de Pareto é uma das mais utilizadas.

Modelos de Tráfego: FARIMA e fBm

FARIMA (Fractional ARIMA)

- Extensão do processo ARIMA que permite valores reais para o grau de diferenciação (parâmetro d), com -1/2 < d < 1/2.
- \blacktriangleright É LRD se $\mathbf{0} < \mathbf{d} < \mathbf{1/2}$ e SRD se d = 0.
- > Relação com Hurst:

$$\mathbf{H} = \mathbf{d} + \mathbf{1/2}$$

Movimento Browniano Fracionário (fBm)

- Os incrementos são normalmente distribuídos, mas não independentes.
- Leva a um processo auto-similar com dependência de longo prazo.
- O incremento do processo é relacionado em todas as escalas.
- ightharpoonup Variação: Movimento Browniano Multi-Fracionário (mBm), que utiliza a função de Höldler H(t).

Modelo SURGE (Scalable URL Reference Generator)

- Modelo de geração de tráfego que utiliza o comportamento do usuário e o conteúdo do servidor.
- Baseado em um autômato ON-OFF que captura o comportamento do usuário.
- O tráfego agregado resultante é auto-similar.

Principais Variáveis e Modelagem

- **Tempo OFF** (Usuário pensando): Dist. de Pareto.
- ➤ Tamanho dos arquivos (Objetos transmitidos): Dist. de Pareto.
- **Número de referências** (em uma sessão): Dist. de Pareto.
- ➤ Tempo Active-Off (Entre arquivos): Dist. de Weibull.
- **Popularidade** (Número de acessos): Lei de Zipf $(P = kr^{-1})$.

Exemplo de Aplicação

- Considere o policiamento de tráfego:
 - Deseja-se determinar se um determinado fluxo está se comportando de acordo com o SLA.
 - 2 Anote na aula: algoritmo do balde furado.
 - Anote na aula: algoritmo do balde de fichas.
 - Pergunta: qual dos dois algoritmos é melhor?

Desafio

Implementar e comparar o **Algoritmo Fractal Leaky Bucket** com o Token Bucket (Balde de Fichas).